



Laboratorium Badań Środowiskowych  
ul. Józefa Piusa Dziekońskiego 3  
00-728 Warszawa  
e-mail: [Laboratorium@networks.pl](mailto:Laboratorium@networks.pl)



AB 419

S P R A W O Z D A N I E 7345/2023/OS  
Z POMIARÓW PÓL ELEKTROMAGNETYCZNYCH  
WYKONANYCH DLA POTRZEB OCHRONY ŚRODOWISKA

Badany obiekt: Instalacja radiokomunikacyjna T-Mobile Polska S.A.

Numer i nazwa: 24018 (96013N!) WBI\_SUPRASL\_ZASCIANKI

Adres: ZAŚCIANKI, SZOSA BARANOWICKA 39, Powiat białostocki, WOJ. PODLASKIE

Data wykonania pomiarów: 2023-09-26

Sprawozdanie z badań bez pisemnej zgody laboratorium nie może być powielane inaczej niż w całości.  
Wynik przedstawione w niniejszym sprawozdaniu odnoszą się wyłącznie do badanego obiektu i do warunków i konfiguracji urządzeń w dniu wykonywania pomiarów.

**1. Właściciel badanego obiektu:**

T-Mobile Polska S.A., ul. Marynarska 12, 02-674 Warszawa

**2. Zleceniodawca:**

T-Mobile Polska S.A., ul. Marynarska 12, 02-674 Warszawa

**3. Przedstawiciel zleceniodawcy:**

NetWorkS! Sp.z o.o.

**4. Zakres zlecenia:**

Wykonanie badania i opracowanie sprawozdania z pomiarów natężenia pola elektrycznego i pola magnetycznego dla instalacji radiokomunikacyjnej T-Mobile Polska S.A. zlokalizowanej w miejscowości ZAŚCIANKI, SZOSA BARANOWICKA 39.

**5. Cel zlecenia:**

Wykonanie pomiarów pól elektromagnetycznych w otoczeniu instalacji radiokomunikacyjnej 24018 (96013N!) WBI\_SUPRASL\_ZASCIANKI w odniesieniu do wymagań określonych w *Rozporządzeniu Ministra Klimatu z dnia 17 lutego 2020 r. w sprawie sposobów sprawdzania dotrzymania dopuszczalnych poziomów pól elektromagnetycznych w środowisku (Dz.U. 2022 poz. 2630)*.

**6. Pomiary zostały wykonane przez:**

Czechowicz Kacper  
Stanilewicz Tomasz

**7. Informacje o źródłach pól elektromagnetycznych**

**7.1. Sposób identyfikacji badanych źródeł pól elektromagnetycznych**

Identyfikacji źródeł i parametrów technicznych dokonano na podstawie analizy dokumentacji dotyczącej zlecenia oraz obserwacji miejsca wykonywania badań.

**7.2. Opis miejsca zainstalowania anten i urządzeń technicznych. Opis obiektu badań i jego otoczenia**

Instalacja radiokomunikacyjna zlokalizowana jest na terenie ogrodzonym. Anteny zawieszono na wieży strunobetonowej. Urządzenia sterujące oraz zasilające zainstalowano w kontenerze u podstawy wieży. Wokół instalacji znajdują się tereny przemysłowe. Instalacja radiokomunikacyjna jest obiektem bezobsługowym. Okresowe stanowiska pracy związane są z prowadzonymi w zależności od potrzeb konserwacjami, przeglądami, strojeniem i naprawami.

Sprawozdanie z badań bez pisemnej zgody laboratorium nie może być powielane inaczej niż w całości.  
Wynik przedstawione w niniejszym sprawozdaniu odnoszą się wyłącznie do badanego obiektu i do warunków i konfiguracji urządzeń w dniu wykonywania pomiarów.

### 7.3. Parametry techniczne źródła pola elektromagnetycznego

Dane przedstawiające maksymalne parametry pracy instalacji przekazane przez zleceniodawcę:

Parametry systemu nadawczo-odbiorczego:

| Charakterystyka promieniowania  |  | kierunkowa           |              |            |                     |  |  |
|---------------------------------|--|----------------------|--------------|------------|---------------------|--|--|
| Rzeczywisty czas pracy [h/dobę] |  | 24                   |              |            |                     |  |  |
| Warunki pracy                   |  | znamionowe           |              |            |                     |  |  |
| Rodzaj wytwarzanego pola        |  | stacjonarne          |              |            |                     |  |  |
| Lp.                             | Częstotliwość lub zakresy częstotliwości pracy [MHz] | Typ/producent anteny | liczba anten | Azymut [°] | kąt pochylenia* [°] | Wysokość środka elektrycznego anteny [m n.p.t] | Równoważna moc promieniowana izotropowo (EIRP) [W] |
| 1                               | 800/2600   | ATR4518R13v06 Huawei | 1            | 0          | 2/1.5               | 36   | 9947   |
| 2                               | 1800/2100  | 742236v01 Kathrein   | 1            | 0          | 2/2                 | 38.7   | 9833   |
| 3                               | 900  | 742264v02 Kathrein   | 1            | 0          | 2                   | 38.7   | 2687   |
| 4                               | 800/2600   | ATR4518R13v06 Huawei | 1            | 100        | 2/1.5               | 36   | 9947   |
| 5                               | 1800/2100  | 742236v01 Kathrein   | 1            | 100        | 2/2                 | 38.7   | 9833   |
| 6                               | 900  | 742264v02 Kathrein   | 1            | 100        | 2                   | 38.7   | 2687   |
| 7                               | 800/2600   | ATR4518R13v06 Huawei | 1            | 210        | 8/6                 | 36   | 9947   |
| 8                               | 1800/2100  | 742236v01 Kathrein   | 1            | 210        | 6.5/6.5             | 38.7   | 9833   |
| 9                               | 900  | 742264v02 Kathrein   | 1            | 210        | 5                   | 38.7   | 2687   |

\* wskazane wartości kąta pochylenia anten, zgodnie z informacją uzyskaną od zleceniodawcy, są wartościami stałymi

Parametry radiolinii:

| Charakterystyka promieniowania  |   | kierunkowa                |  |                         |                     |            |                                   |
|---------------------------------|---|---------------------------|--|-------------------------|---------------------|------------|-----------------------------------|
| Rzeczywisty czas pracy [h/dobę] |   | 24                        |  |                         |                     |            |                                   |
| Warunki pracy                   |   | znamionowe                |  |                         |                     |            |                                   |
| Rodzaj wytwarzanego pola        |   | stacjonarne               |  |                         |                     |            |                                   |
| Lp.                             | Linia radiowa                                       |                           |  | Antena                  |                     |            |                                   |
|                                 | Typ/ Producent                                      | Częstotliwość pracy [GHz] | Równoważna moc promieniowana izotropowo (EIRP) [W] | Typ/ producent          | Średnica anteny [m] | Azymut [°] | Wysokość zainstalowania n.p.t [m] |
| 1.                              | NEC iPasolink 200<br/>Huawei Optix RTN 380AX Huawei | 38/80                     | 15/26  | VHLP1-38 Huawei         | 0.3                 | 110        | 40                                |
| 2.                              | NEC iPasolink 200 Harris Stratex                    | 38                        | 563  | VHLP1-38 Andrew         | 0.3                 | 187        | 40                                |
| 3.                              | ERICSSON CN510 6363 Harris Stratex                  | 80                        | 13   | ANT3_0.3 80 HP Andrew   | 0.3                 | 192        | 40                                |
| 4.                              | NEC iPasolink 100E Harris Stratex                   | 38                        | 4  | VHLP1-38 Andrew         | 0.3                 | 213        | 40                                |
| 5.                              | Ericsson CN510 RAU2X Harris Stratex                 | 23                        | 132  | ANT2_0.3 23 HP Ericsson | 0.3                 | 247        | 40                                |

Sprawozdanie z badań bez pisemnej zgody laboratorium nie może być powielane inaczej niż w całości.  
Wynik przedstawione w niniejszym sprawozdaniu odnoszą się wyłącznie do badanego obiektu i do warunków i konfiguracji urządzeń w dniu wykonywania pomiarów.

| Charakterystyka promieniowania  |  |                           |  | kierunkowa                        |                     |            |                                   |
|---------------------------------|--|---------------------------|--|-----------------------------------|---------------------|------------|-----------------------------------|
| Rzeczywisty czas pracy [h/dobę] |  |                           |  | 24                                |                     |            |                                   |
| Warunki pracy                   |  |                           |  | znamionowe                        |                     |            |                                   |
| Rodzaj wytwarzanego pola        |  |                           |  | stacjonarne                       |                     |            |                                   |
| Lp.                             | Linia radiowa  |                           |  | Antena                            |                     |            |                                   |
|                                 | Typ/ Producent   | Częstotliwość pracy [GHz] | Równoważna moc promieniowana izotropowo (EIRP) [W] | Typ/ producent                    | Średnica anteny [m] | Azymut [°] | Wysokość zainstalowania n.p.t [m] |
| 6.                              | Ericsson CN510 RAU2X<br>Harris Stratex                 | 38                        | 14   | ANT2_0.3<br>38 HP<br>Ericsson     | 0.3                 | 263        | 40                                |
| 7.                              | NP ERICSSON ML<br>6352 R2+ 70/80GHz<br>250MHz Ericsson | 80                        | 2239   | ANT2_0.6<br>80 HP/HPX<br>Ericsson | 0.6                 | 302        | 42                                |

#### 7.4 Inne źródła pól elektromagnetycznych

Na podstawie informacji otrzymanych od użytkownika oraz obserwacji otoczenia miejsca wykonywania pomiarów stwierdzono występowanie innych źródeł pola-EM, pracujących w systemie: telefonii komórkowej (800MHz-2600MHz), linii radiowych (5GHz – 90GHz), które istotnie wpływają na wyniki pomiarów.

### 8. Opis pomiarów

#### 8.1. Metoda badań

Zgodna z rozporządzeniem Ministra Klimatu z dnia 17 lutego 2020 r. w sprawie sposobów sprawdzania dotrzymania dopuszczalnych poziomów pól elektromagnetycznych w środowisku (Dz.U. 2022 poz. 2630), określona w pkt 25 ppkt 1 załącznika do niniejszego rozporządzenia.

#### 8.2. Termin pomiarów i warunki środowiskowe

Podczas wykonywania pomiarów pól elektromagnetycznych nie występowały opady atmosferyczne. Wyniki pomiaru parametrów pogodowych przedstawia poniższa tabela:

| Data<br>[rrrr-mm-dd] | Godzina<br>[hh:mm-hh:mm] | Warunki środowiskowe |              |                         |              |
|----------------------|--------------------------|----------------------|--------------|-------------------------|--------------|
|                      |                          | Temperatura [°C]     |              | Wilgotność względna [%] |              |
| 2023-09-26           | 16:20-17:30              | Przed pomiarem       | Po pomiarach | Przed pomiarem          | Po pomiarach |
|                      |                          |                      |              | 24.0                    | 24.0         |

Przedstawione wyżej warunki środowiskowe, występujące podczas wykonywania pomiarów pól elektromagnetycznych, są zgodne ze specyfikacją techniczną użytego zestawu pomiarowego.

#### 8.3. Warunki pracy urządzeń nadawczych

Podczas pomiarów w przypadku uzyskania wyniku pomiaru szerokopasmowego wykonanego zastosowaną metodą, dla zakresów częstotliwości od 10 MHz do 300 GHz, powiększonego o rozszerzoną niepewność pomiaru U dla współczynnika rozszerzenia  $k = 2$  przekraczającego 70% najniższej dopuszczalnej wartości składowej elektrycznej lub magnetycznej pola dla objętych pomiarami zakresów częstotliwości, uwzględnia się poprawki pomiarowe przekazane przez zleceniodawcę, umożliwiające uwzględnienie maksymalnych parametrów pracy instalacji zgodnie z pkt 7 załącznika do Rozporządzeniem Ministra Klimatu z dnia 17 lutego 2020 r. w sprawie sposobów sprawdzania dotrzymania dopuszczalnych poziomów pól elektromagnetycznych w środowisku (Dz. U. 2022, poz. 2630) zaznaczając, że wymagane jest wykonanie pomiaru z wykorzystaniem miernika selektywnego. W przypadku uzyskania wyniku pomiaru szerokopasmowego wykonanego zastosowaną metodą, dla zakresów częstotliwości od 10 MHz do 300 GHz, powiększonego o rozszerzoną niepewność pomiaru U dla współczynnika rozszerzenia  $k = 2$  nieprzekraczającego 70% najniższej dopuszczalnej wartości składowej elektrycznej lub magnetycznej pola dla objętych pomiarami zakresów częstotliwości, nie uwzględnia się poprawek pomiarowych.

## 8.4. Wyposażenie pomiarowe

Zestaw pomiarowy służący do pomiaru natężenia składowej elektrycznej pola elektromagnetycznego złożony z szerokopasmowego miernika i sondy pomiarowej:

| Oznaczenie miernika | Producent                  | Model                                    | Numer fabryczny | Oznaczenie sondy | Producent                  | Model        | Numer fabryczny |
|---------------------|----------------------------|--|-----------------|------------------|----------------------------|--------------|-----------------|
| M-19                | Narda Safety Test Solution | Miernik pól elektromagnetycznych NBM-550 | H-0129          | S-20             | Narda Safety Test Solution | Sonda EF0391 | D-1438          |

Mierniki natężenia pola elektromagnetycznego podlegają okresowemu sprawdzeniu zgodnie z procedurą wewnętrzną P-03 i PB-01. Świadczenie wzorcowania zestawu pomiarowego z dnia 22 maja 2023 o numerze LWiMP/W/176/23 wydane przez Politechnikę Wrocławską.  
Data ważności świadectwa wzorcowania: 22 maja 2025 (zgodnie z procedurą wewnętrzną P-03).

| Oznaczenie miernika | Producent                  | Model                                    | Numer fabryczny | Oznaczenie sondy | Producent                  | Model        | Numer fabryczny |
|---------------------|----------------------------|--|-----------------|------------------|----------------------------|--------------|-----------------|
| M-19                | Narda Safety Test Solution | Miernik pól elektromagnetycznych NBM-550 | H-0129          | S-19             | Narda Safety Test Solution | Sonda EF9091 | A-0057          |

Mierniki natężenia pola elektromagnetycznego podlegają okresowemu sprawdzeniu zgodnie z procedurą wewnętrzną P-03 i PB-01. Świadczenie wzorcowania zestawu pomiarowego z dnia 22 maja 2023 o numerze LWiMP/W/175/23 wydane przez Politechnikę Wrocławską.  
Data ważności świadectwa wzorcowania: 22 maja 2025 (zgodnie z procedurą wewnętrzną P-03).

Termohigrometr:

| Oznaczenie: | TH-22 | Producent: | AZ INSTRUMENT CORP | Model: | Termohigrometr AZ8706 |
|-------------|-------|------------|--------------------|--------|-----------------------|
|-------------|-------|------------|--------------------|--------|-----------------------|

Data ważności świadectwa wzorcowania: 17 grudnia 2023 (zgodnie z procedurą wewnętrzną P-03).

Dalmierz:

| Oznaczenie | Producent | Typ                       | Numer seryjny | Nr świadectwa wzorcowania | Data świadectwa wzorcowania |
|------------|-----------|---------------------------|---------------|---------------------------|-----------------------------|
| D-11       | Leica     | Dalmierz Leica Disto D510 | 1042957453    | 4609.22-M11-4180-1748/14  | 9 stycznia 2015             |

Data ważności świadectwa wzorcowania: 9 stycznia 2025 (zgodnie z procedurą wewnętrzną P-03).

Odbiornik GNSS:

| Oznaczenie | Producent | Model    | Numer fabryczny |
|------------|-----------|----------|-----------------|
| G-01       | Stonex    | S7-G GIS | S7G4083040009   |

Odbiorniki podlegają okresowemu sprawdzeniu zgodnie z procedurą wewnętrzną P-03.

## 9. Wyniki pomiarów

Pole elektryczne

| Nr pionu | Opis umiejscowienia pionu (punktu pomiarowego) | Wysokość pomiaru [m] | Zmierzona wartość natężenia pola elektrycznego E [V/m] <sup>1,5</sup> |            |       | Wartość natężenia pola elektrycznego powiększona o niepewność pomiaru <sup>4</sup> E [V/m] | Wskaźnikowa wartość poziomu emisji pól elektromagnetycznych WME <sup>3</sup> | Współrzędne geograficzne pionu (punktu pomiarowego) <sup>2</sup> |
|----------|--|----------------------|---|------------|-------|--|--|--|
|          |  |                      | Sonda S-20  | Sonda S-19 | SUMA  |  |  |  |
| 1        | PKP w bramie garażowej                         | 2.0                  | 1.4   | 1.4        | 1.4   | 1.8  | 0.06   | 53°7'34.3"<br>23°14'57.5"  |
| 2        | PKP w wejściu do budynku przemysłowego         | 2.0                  | 1.8   | 1.8        | 1.8   | 2.3  | 0.08   | 53°7'34.7"<br>23°14'57.5"  |
| 3        | PKP płaszczyzna okna stacji kontroli pojazdów  | 2.0                  | 1.9   | 1.9        | 1.9   | 2.5  | 0.09   | 53°7'34.7"<br>23°14'56.8"  |
| 4        | PKP płaszczyzna okna budynku przemysłowego     | 2.0                  | 2.0   | 2.0        | 2.0   | 2.6  | 0.09   | 53°7'35.0"<br>23°14'57.1"  |
| 5        | PKP w bramie budynku przemysłowego             | 0.3-2.0              | <1.0*   | <1.0*      | <1.0* | 1.3  | 0.05   | 53°7'36.8"<br>23°14'56.4"  |
| 6        | GKP w odległości 7m od anteny                  | 0.3-2.0              | <1.0*   | <1.0*      | <1.0* | 1.3  | 0.05   | 53°7'35.0"<br>23°14'56.8"  |

Sprawozdanie z badań bez pisemnej zgody laboratorium nie może być powielane inaczej niż w całości.  
Wynik przedstawione w niniejszym sprawozdaniu odnoszą się wyłącznie do badanego obiektu i do warunków i konfiguracji urządzeń w dniu wykonywania pomiarów.

|    |  |         |            |            |            |     |      |                           |
|----|--|---------|------------|------------|------------|-----|------|---------------------------|
|    | sektorowej az.<br>0°   |         |            |            |            |     |      |                           |
| 7  | GKP w odległości<br>33m od anteny<br>sektorowej az.<br>0°      | 0.3-2.0 | <1.0*      | <1.0*      | <1.0*      | 1.3 | 0.05 | 53°7'35.8"<br>23°14'56.8" |
| 8  | GKP w odległości<br>46m od anteny<br>sektorowej az.<br>0°      | 2.0     | 1.6        | 1.6        | 1.6        | 2.1 | 0.07 | 53°7'36.5"<br>23°14'56.8" |
| 9  | GKP w odległości<br>58m od anteny<br>sektorowej az.<br>0°      | 0.3-2.0 | <1.0*      | <1.0*      | <1.0*      | 1.3 | 0.05 | 53°7'36.8"<br>23°14'56.8" |
| 10 | GKP w odległości<br>82m od anteny<br>sektorowej az.<br>0°      | 0.3-2.0 | <1.0*      | <1.0*      | <1.0*      | 1.3 | 0.05 | 53°7'37.6"<br>23°14'56.8" |
| 11 | GKP w odległości<br>7m od anteny<br>sektorowej az.<br>100°     | 0.3-2.0 | <1.0*      | <1.0*      | <1.0*      | 1.3 | 0.05 | 53°7'34.7"<br>23°14'57.1" |
| 12 | GKP w odległości<br>25m od anteny<br>sektorowej az.<br>100°    | 2.0     | <b>2.3</b> | <b>2.3</b> | <b>2.3</b> | 3   | 0.11 | 53°7'34.7"<br>23°14'58.2" |
| 13 | GKP w odległości<br>41m od anteny<br>sektorowej az.<br>100°    | 2.0     | 2.2        | 2.2        | 2.2        | 2.8 | 0.1  | 53°7'34.3"<br>23°14'58.9" |
| 14 | GKP w odległości<br>60m od anteny<br>sektorowej az.<br>100°    | 2.0     | 1.8        | 1.8        | 1.8        | 2.3 | 0.08 | 53°7'34.3"<br>23°15'0.0"  |
| 15 | GKP w odległości<br>82m od anteny<br>sektorowej az.<br>100°    | 0.3-2.0 | <1.0*      | <1.0*      | <1.0*      | 1.3 | 0.05 | 53°7'34.3"<br>23°15'1.1"  |
| 16 | GKP w odległości<br>5m od anteny<br>radioliniowej az.<br>110°  | 0.3-2.0 | <1.0*      | <1.0*      | <1.0*      | 1.3 | 0.05 | 53°7'34.7"<br>23°14'57.1" |
| 17 | GKP w odległości<br>25m od anteny<br>radioliniowej az.<br>110° | 2.0     | 1.7        | 1.7        | 1.7        | 2.2 | 0.08 | 53°7'34.3"<br>23°14'58.2" |
| 18 | GKP w odległości<br>45m od anteny<br>radioliniowej az.<br>110° | 2.0     | 1.5        | 1.5        | 1.5        | 1.9 | 0.07 | 53°7'34.3"<br>23°14'59.3" |
| 19 | GKP w odległości<br>65m od anteny<br>radioliniowej az.<br>110° | 0.3-2.0 | <1.0*      | <1.0*      | <1.0*      | 1.3 | 0.05 | 53°7'34.0"<br>23°15'0.0"  |
| 20 | PKP w bramie<br>garażowej                                      | 2.0     | 1.9        | 1.9        | 1.9        | 2.5 | 0.09 | 53°7'32.9"<br>23°14'56.8" |
| 21 | GKP w odległości<br>5m od anteny<br>radioliniowej az.<br>187°  | 0.3-2.0 | <1.0*      | <1.0*      | <1.0*      | 1.3 | 0.05 | 53°7'34.7"<br>23°14'56.8" |
| 22 | GKP w odległości<br>25m od anteny<br>radioliniowej az.<br>187° | 0.3-2.0 | <1.0*      | <1.0*      | <1.0*      | 1.3 | 0.05 | 53°7'34.0"<br>23°14'56.8" |
| 23 | GKP w odległości<br>45m od anteny<br>radioliniowej az.<br>187° | 0.3-2.0 | <1.0*      | <1.0*      | <1.0*      | 1.3 | 0.05 | 53°7'33.2"<br>23°14'56.4" |
| 24 | GKP w odległości<br>71m od anteny<br>radioliniowej az.<br>187° | 0.3-2.0 | <1.0*      | <1.0*      | <1.0*      | 1.3 | 0.05 | 53°7'32.5"<br>23°14'56.4" |
| 25 | GKP w odległości<br>5m od anteny<br>radioliniowej az.<br>192°  | 0.3-2.0 | <1.0*      | <1.0*      | <1.0*      | 1.3 | 0.05 | 53°7'34.7"<br>23°14'56.8" |
| 26 | GKP w odległości<br>25m od anteny                              | 0.3-2.0 | <1.0*      | <1.0*      | <1.0*      | 1.3 | 0.05 | 53°7'34.0"<br>23°14'56.4" |

Sprawozdanie z badań bez pisemnej zgody laboratorium nie może być powielane inaczej niż w całości.  
Wynik przedstawione w niniejszym sprawozdaniu odnoszą się wyłącznie do badanego obiektu i do warunków i konfiguracji urządzeń w dniu wykonywania pomiarów.

|    |   |         |       |       |       |     |      |                           |
|----|---|---------|-------|-------|-------|-----|------|---------------------------|
|    | radioliniowej az. 192°  |         |       |       |       |     |      |                           |
| 27 | GKP w odległości 45m od anteny radioliniowej az. 192°             | 0.3-2.0 | <1.0* | <1.0* | <1.0* | 1.3 | 0.05 | 53°7'33.2"<br>23°14'56.4" |
| 28 | GKP w odległości 71m od anteny radioliniowej az. 192°             | 0.3-2.0 | <1.0* | <1.0* | <1.0* | 1.3 | 0.05 | 53°7'32.5"<br>23°14'56.0" |
| 29 | GKP w odległości 85m od anteny radioliniowej az. 192°             | 0.3-2.0 | <1.0* | <1.0* | <1.0* | 1.3 | 0.05 | 53°7'32.2"<br>23°14'55.7" |
| 30 | GKP w odległości 5m od anteny radioliniowej az. 213°              | 0.3-2.0 | <1.0* | <1.0* | <1.0* | 1.3 | 0.05 | 53°7'34.7"<br>23°14'56.8" |
| 31 | GKP w odległości 14m od anteny radioliniowej az. 213°             | 2.0     | 1.8   | 1.8   | 1.8   | 2.3 | 0.08 | 53°7'34.3"<br>23°14'56.4" |
| 32 | GKP w odległości 45m od anteny radioliniowej az. 213°             | 0.3-2.0 | <1.0* | <1.0* | <1.0* | 1.3 | 0.05 | 53°7'33.6"<br>23°14'55.3" |
| 33 | PKP na az. 213° w odległości 76m od anteny radioliniowej az. 213° | 0.3-2.0 | <1.0* | <1.0* | <1.0* | 1.3 | 0.05 | 53°7'32.5"<br>23°14'54.6" |
| 34 | GKP w odległości 5m od anteny sektorowej az. 210°                 | 0.3-2.0 | <1.0* | <1.0* | <1.0* | 1.3 | 0.05 | 53°7'34.7"<br>23°14'56.8" |
| 35 | GKP w odległości 15m od anteny sektorowej az. 210°                | 2.0     | 1.8   | 1.8   | 1.8   | 2.3 | 0.08 | 53°7'34.3"<br>23°14'56.4" |
| 36 | GKP w odległości 40m od anteny sektorowej az. 210°                | 0.3-2.0 | <1.0* | <1.0* | <1.0* | 1.3 | 0.05 | 53°7'33.6"<br>23°14'55.7" |
| 37 | GKP w odległości 52m od anteny sektorowej az. 210°                | 2.0     | 1.9   | 1.9   | 1.9   | 2.5 | 0.09 | 53°7'33.2"<br>23°14'55.3" |
| 38 | GKP w odległości 85m od anteny sektorowej az. 210°                | 0.3-2.0 | <1.0* | <1.0* | <1.0* | 1.3 | 0.05 | 53°7'32.2"<br>23°14'54.2" |
| 39 | GKP w odległości 5m od anteny radioliniowej az. 247°              | 0.3-2.0 | <1.0* | <1.0* | <1.0* | 1.3 | 0.05 | 53°7'34.7"<br>23°14'56.4" |
| 40 | GKP w odległości 25m od anteny radioliniowej az. 247°             | 0.3-2.0 | <1.0* | <1.0* | <1.0* | 1.3 | 0.05 | 53°7'34.3"<br>23°14'55.3" |
| 41 | GKP w odległości 45m od anteny radioliniowej az. 247°             | 0.3-2.0 | <1.0* | <1.0* | <1.0* | 1.3 | 0.05 | 53°7'34.3"<br>23°14'54.6" |
| 42 | GKP w odległości 65m od anteny radioliniowej az. 247°             | 0.3-2.0 | <1.0* | <1.0* | <1.0* | 1.3 | 0.05 | 53°7'34.0"<br>23°14'53.5" |
| 43 | GKP w odległości 85m od anteny radioliniowej az. 247°             | 0.3-2.0 | <1.0* | <1.0* | <1.0* | 1.3 | 0.05 | 53°7'33.6"<br>23°14'52.4" |
| 44 | GKP w odległości 5m od anteny radioliniowej az. 263°              | 0.3-2.0 | <1.0* | <1.0* | <1.0* | 1.3 | 0.05 | 53°7'34.7"<br>23°14'56.4" |
| 45 | GKP w odległości 25m od anteny                                    | 0.3-2.0 | <1.0* | <1.0* | <1.0* | 1.3 | 0.05 | 53°7'34.7"<br>23°14'55.3" |

Sprawozdanie z badań bez pisemnej zgody laboratorium nie może być powielane inaczej niż w całości.  
Wynik przedstawione w niniejszym sprawozdaniu odnoszą się wyłącznie do badanego obiektu i do warunków i konfiguracji urządzeń w dniu wykonywania pomiarów.

|    |   |         |       |       |       |     |      |                           |
|----|---|---------|-------|-------|-------|-----|------|---------------------------|
|    | radioliniowej az. 263°  |         |       |       |       |     |      |                           |
| 46 | GKP w odległości 45m od anteny radioliniowej az. 263°             | 0.3-2.0 | <1.0* | <1.0* | <1.0* | 1.3 | 0.05 | 53°7'34.7"<br>23°14'54.2" |
| 47 | GKP w odległości 65m od anteny radioliniowej az. 263°             | 0.3-2.0 | <1.0* | <1.0* | <1.0* | 1.3 | 0.05 | 53°7'34.7"<br>23°14'53.2" |
| 48 | GKP w odległości 75m od anteny radioliniowej az. 263°             | 0.3-2.0 | <1.0* | <1.0* | <1.0* | 1.3 | 0.05 | 53°7'34.3"<br>23°14'52.8" |
| 49 | GKP w odległości 5m od anteny radioliniowej az. 302°              | 0.3-2.0 | <1.0* | <1.0* | <1.0* | 1.3 | 0.05 | 53°7'35.0"<br>23°14'56.4" |
| 50 | GKP w odległości 25m od anteny radioliniowej az. 302°             | 0.3-2.0 | <1.0* | <1.0* | <1.0* | 1.3 | 0.05 | 53°7'35.0"<br>23°14'55.7" |
| 51 | GKP w odległości 45m od anteny radioliniowej az. 302°             | 0.3-2.0 | <1.0* | <1.0* | <1.0* | 1.3 | 0.05 | 53°7'35.4"<br>23°14'54.6" |
| 52 | GKP w odległości 65m od anteny radioliniowej az. 302°             | 0.3-2.0 | <1.0* | <1.0* | <1.0* | 1.3 | 0.05 | 53°7'35.8"<br>23°14'53.9" |
| 53 | GKP w odległości 85m od anteny radioliniowej az. 302°             | 0.3-2.0 | <1.0* | <1.0* | <1.0* | 1.3 | 0.05 | 53°7'36.1"<br>23°14'53.2" |
| 54 | PKP na az. 333° w odległości 45m od anteny radioliniowej az. 302° | 0.3-2.0 | <1.0* | <1.0* | <1.0* | 1.3 | 0.05 | 53°7'36.1"<br>23°14'55.7" |
| 55 | PKP na az. 41° w odległości 50m od anteny sektorowej az. 0°       | 0.3-2.0 | <1.0* | <1.0* | <1.0* | 1.3 | 0.05 | 53°7'36.1"<br>23°14'58.6" |
| 56 | PKP na az. 152° w odległości 44m od anteny radioliniowej az. 110° | 0.3-2.0 | <1.0* | <1.0* | <1.0* | 1.3 | 0.05 | 53°7'33.6"<br>23°14'57.8" |
| 57 | PKP na az. 232° w odległości 58m od anteny radioliniowej az. 247° | 0.3-2.0 | <1.0* | <1.0* | <1.0* | 1.3 | 0.05 | 53°7'33.6"<br>23°14'54.2" |
| -  | GKP w odległości 366m od anteny sektorowej az. 0°                 | 0.3-2.0 | <1.0* | <1.0* | <1.0* | 1.3 | 0.05 | 53°7'46.6"<br>23°14'56.8" |
| -  | GKP w odległości 503m od anteny sektorowej az. 100°               | 0.3-2.0 | <1.0* | <1.0* | <1.0* | 1.3 | 0.05 | 53°7'31.8"<br>23°15'23.4" |
| -  | GKP w odległości 251m od anteny sektorowej az. 210°               | 0.3-2.0 | <1.0* | <1.0* | <1.0* | 1.3 | 0.05 | 53°7'27.8"<br>23°14'49.9" |

Sprawozdanie z badań bez pisemnej zgody laboratorium nie może być powielane inaczej niż w całości.  
Wynik przedstawione w niniejszym sprawozdaniu odnoszą się wyłącznie do badanego obiektu i do warunków i konfiguracji urządzeń w dniu wykonywania pomiarów.



Pole magnetyczne (wyznaczone na podstawie pomiaru wartości natężenia pola elektrycznego)

| Nr pionu | Opis umiejscowienia pionu (punktu pomiarowego)     | Wysokość pomiaru [m] | Wartość natężenia pola magnetycznego H [A/m] <sup>1</sup> |              |         | Wartość natężenia pola magnetycznego powiększona o niepewność pomiaru <sup>4</sup> H [A/m] | Wskaźnikowa wartość poziomu emisji pól elektromagnetycznych WM <sub>H</sub> <sup>3</sup> | Współrzędne geograficzne pionu (punktu pomiarowego) <sup>2</sup> |
|----------|--|----------------------|---|--------------|---------|--|--|--|
|          |  |                      | Sonda S-20  | Sonda S-19   | SUMA    |  |  |  |
| 1        | PKP w bramie garażowej                             | 2.0                  | 0.004   | 0.004        | 0.004   | 0.005  | 0.07   | 53°7'34.3"<br>23°14'57.5"  |
| 2        | PKP w wejściu do budynku przemysłowego             | 2.0                  | 0.005   | 0.005        | 0.005   | 0.006  | 0.08   | 53°7'34.7"<br>23°14'57.5"  |
| 3        | PKP płaszczyzna okna stacji kontroli pojazdów      | 2.0                  | 0.005   | 0.005        | 0.005   | 0.007  | 0.09   | 53°7'34.7"<br>23°14'56.8"  |
| 4        | PKP płaszczyzna okna budynku przemysłowego         | 2.0                  | 0.005   | 0.005        | 0.005   | 0.007  | 0.09   | 53°7'35.0"<br>23°14'57.1"  |
| 5        | PKP w bramie budynku przemysłowego                 | 0.3-2.0              | <0.003*   | <0.003*      | <0.003* | 0.003  | 0.05   | 53°7'36.8"<br>23°14'56.4"  |
| 6        | GKP w odległości 7m od anteny sektorowej az. 0°    | 0.3-2.0              | <0.003*   | <0.003*      | <0.003* | 0.003  | 0.05   | 53°7'35.0"<br>23°14'56.8"  |
| 7        | GKP w odległości 33m od anteny sektorowej az. 0°   | 0.3-2.0              | <0.003*   | <0.003*      | <0.003* | 0.003  | 0.05   | 53°7'35.8"<br>23°14'56.8"  |
| 8        | GKP w odległości 46m od anteny sektorowej az. 0°   | 2.0                  | 0.004   | 0.004        | 0.004   | 0.005  | 0.08   | 53°7'36.5"<br>23°14'56.8"  |
| 9        | GKP w odległości 58m od anteny sektorowej az. 0°   | 0.3-2.0              | <0.003*   | <0.003*      | <0.003* | 0.003  | 0.05   | 53°7'36.8"<br>23°14'56.8"  |
| 10       | GKP w odległości 82m od anteny sektorowej az. 0°   | 0.3-2.0              | <0.003*   | <0.003*      | <0.003* | 0.003  | 0.05   | 53°7'37.6"<br>23°14'56.8"  |
| 11       | GKP w odległości 7m od anteny sektorowej az. 100°  | 0.3-2.0              | <0.003*   | <0.003*      | <0.003* | 0.003  | 0.05   | 53°7'34.7"<br>23°14'57.1"  |
| 12       | GKP w odległości 25m od anteny sektorowej az. 100° | 2.0                  | <b>0.006</b>  | <b>0.006</b> | 0.006   | 0.008  | 0.11   | 53°7'34.7"<br>23°14'58.2"  |
| 13       | GKP w odległości 41m od anteny sektorowej az. 100° | 2.0                  | 0.006   | 0.006        | 0.006   | 0.008  | 0.1  | 53°7'34.3"<br>23°14'58.9"  |
| 14       | GKP w odległości 60m od anteny sektorowej az. 100° | 2.0                  | 0.005   | 0.005        | 0.005   | 0.006  | 0.08   | 53°7'34.3"<br>23°15'0.0"   |
| 15       | GKP w odległości 82m od anteny sektorowej az. 100° | 0.3-2.0              | <0.003*   | <0.003*      | <0.003* | 0.003  | 0.05   | 53°7'34.3"<br>23°15'1.1"   |

Sprawozdanie z badań bez pisemnej zgody laboratorium nie może być powielane inaczej niż w całości.  
Wynik przedstawione w niniejszym sprawozdaniu odnoszą się wyłącznie do badanego obiektu i do warunków i konfiguracji urządzeń w dniu wykonywania pomiarów.

|    |   |         |         |         |         |       |      |                           |
|----|---|---------|---------|---------|---------|-------|------|---------------------------|
| 16 | GKP w odległości 5m od anteny radioliniowej az. 110°  | 0.3-2.0 | <0.003* | <0.003* | <0.003* | 0.003 | 0.05 | 53°7'34.7"<br>23°14'57.1" |
| 17 | GKP w odległości 25m od anteny radioliniowej az. 110° | 2.0     | 0.005   | 0.005   | 0.005   | 0.006 | 0.08 | 53°7'34.3"<br>23°14'58.2" |
| 18 | GKP w odległości 45m od anteny radioliniowej az. 110° | 2.0     | 0.004   | 0.004   | 0.004   | 0.005 | 0.07 | 53°7'34.3"<br>23°14'59.3" |
| 19 | GKP w odległości 65m od anteny radioliniowej az. 110° | 0.3-2.0 | <0.003* | <0.003* | <0.003* | 0.003 | 0.05 | 53°7'34.0"<br>23°15'0.0"  |
| 20 | PKP w bramie garażowej                                | 2.0     | 0.005   | 0.005   | 0.005   | 0.007 | 0.09 | 53°7'32.9"<br>23°14'56.8" |
| 21 | GKP w odległości 5m od anteny radioliniowej az. 187°  | 0.3-2.0 | <0.003* | <0.003* | <0.003* | 0.003 | 0.05 | 53°7'34.7"<br>23°14'56.8" |
| 22 | GKP w odległości 25m od anteny radioliniowej az. 187° | 0.3-2.0 | <0.003* | <0.003* | <0.003* | 0.003 | 0.05 | 53°7'34.0"<br>23°14'56.8" |
| 23 | GKP w odległości 45m od anteny radioliniowej az. 187° | 0.3-2.0 | <0.003* | <0.003* | <0.003* | 0.003 | 0.05 | 53°7'33.2"<br>23°14'56.4" |
| 24 | GKP w odległości 71m od anteny radioliniowej az. 187° | 0.3-2.0 | <0.003* | <0.003* | <0.003* | 0.003 | 0.05 | 53°7'32.5"<br>23°14'56.4" |
| 25 | GKP w odległości 5m od anteny radioliniowej az. 192°  | 0.3-2.0 | <0.003* | <0.003* | <0.003* | 0.003 | 0.05 | 53°7'34.7"<br>23°14'56.8" |
| 26 | GKP w odległości 25m od anteny radioliniowej az. 192° | 0.3-2.0 | <0.003* | <0.003* | <0.003* | 0.003 | 0.05 | 53°7'34.0"<br>23°14'56.4" |
| 27 | GKP w odległości 45m od anteny radioliniowej az. 192° | 0.3-2.0 | <0.003* | <0.003* | <0.003* | 0.003 | 0.05 | 53°7'33.2"<br>23°14'56.4" |
| 28 | GKP w odległości 71m od anteny radioliniowej az. 192° | 0.3-2.0 | <0.003* | <0.003* | <0.003* | 0.003 | 0.05 | 53°7'32.5"<br>23°14'56.0" |
| 29 | GKP w odległości 85m od anteny radioliniowej az. 192° | 0.3-2.0 | <0.003* | <0.003* | <0.003* | 0.003 | 0.05 | 53°7'32.2"<br>23°14'55.7" |
| 30 | GKP w odległości 5m od anteny radioliniowej az. 213°  | 0.3-2.0 | <0.003* | <0.003* | <0.003* | 0.003 | 0.05 | 53°7'34.7"<br>23°14'56.8" |
| 31 | GKP w odległości 14m od anteny radioliniowej az. 213° | 2.0     | 0.005   | 0.005   | 0.005   | 0.006 | 0.08 | 53°7'34.3"<br>23°14'56.4" |

Sprawozdanie z badań bez pisemnej zgody laboratorium nie może być powielane inaczej niż w całości.  
Wynik przedstawione w niniejszym sprawozdaniu odnoszą się wyłącznie do badanego obiektu i do warunków i konfiguracji urządzeń w dniu wykonywania pomiarów.

|    |   |         |         |         |         |       |      |                           |
|----|---|---------|---------|---------|---------|-------|------|---------------------------|
| 32 | GKP w odległości 45m od anteny radioliniowej az. 213°             | 0.3-2.0 | <0.003* | <0.003* | <0.003* | 0.003 | 0.05 | 53°7'33.6"<br>23°14'55.3" |
| 33 | PKP na az. 213° w odległości 76m od anteny radioliniowej az. 213° | 0.3-2.0 | <0.003* | <0.003* | <0.003* | 0.003 | 0.05 | 53°7'32.5"<br>23°14'54.6" |
| 34 | GKP w odległości 5m od anteny sektorowej az. 210°                 | 0.3-2.0 | <0.003* | <0.003* | <0.003* | 0.003 | 0.05 | 53°7'34.7"<br>23°14'56.8" |
| 35 | GKP w odległości 15m od anteny sektorowej az. 210°                | 2.0     | 0.005   | 0.005   | 0.005   | 0.006 | 0.08 | 53°7'34.3"<br>23°14'56.4" |
| 36 | GKP w odległości 40m od anteny sektorowej az. 210°                | 0.3-2.0 | <0.003* | <0.003* | <0.003* | 0.003 | 0.05 | 53°7'33.6"<br>23°14'55.7" |
| 37 | GKP w odległości 52m od anteny sektorowej az. 210°                | 2.0     | 0.005   | 0.005   | 0.005   | 0.007 | 0.09 | 53°7'33.2"<br>23°14'55.3" |
| 38 | GKP w odległości 85m od anteny sektorowej az. 210°                | 0.3-2.0 | <0.003* | <0.003* | <0.003* | 0.003 | 0.05 | 53°7'32.2"<br>23°14'54.2" |
| 39 | GKP w odległości 5m od anteny radioliniowej az. 247°              | 0.3-2.0 | <0.003* | <0.003* | <0.003* | 0.003 | 0.05 | 53°7'34.7"<br>23°14'56.4" |
| 40 | GKP w odległości 25m od anteny radioliniowej az. 247°             | 0.3-2.0 | <0.003* | <0.003* | <0.003* | 0.003 | 0.05 | 53°7'34.3"<br>23°14'55.3" |
| 41 | GKP w odległości 45m od anteny radioliniowej az. 247°             | 0.3-2.0 | <0.003* | <0.003* | <0.003* | 0.003 | 0.05 | 53°7'34.3"<br>23°14'54.6" |
| 42 | GKP w odległości 65m od anteny radioliniowej az. 247°             | 0.3-2.0 | <0.003* | <0.003* | <0.003* | 0.003 | 0.05 | 53°7'34.0"<br>23°14'53.5" |
| 43 | GKP w odległości 85m od anteny radioliniowej az. 247°             | 0.3-2.0 | <0.003* | <0.003* | <0.003* | 0.003 | 0.05 | 53°7'33.6"<br>23°14'52.4" |
| 44 | GKP w odległości 5m od anteny radioliniowej az. 263°              | 0.3-2.0 | <0.003* | <0.003* | <0.003* | 0.003 | 0.05 | 53°7'34.7"<br>23°14'56.4" |
| 45 | GKP w odległości 25m od anteny radioliniowej az. 263°             | 0.3-2.0 | <0.003* | <0.003* | <0.003* | 0.003 | 0.05 | 53°7'34.7"<br>23°14'55.3" |
| 46 | GKP w odległości 45m od anteny radioliniowej az. 263°             | 0.3-2.0 | <0.003* | <0.003* | <0.003* | 0.003 | 0.05 | 53°7'34.7"<br>23°14'54.2" |
| 47 | GKP w odległości 65m  | 0.3-2.0 | <0.003* | <0.003* | <0.003* | 0.003 | 0.05 | 53°7'34.7"<br>23°14'53.2" |

Sprawozdanie z badań bez pisemnej zgody laboratorium nie może być powielane inaczej niż w całości.  
Wynik przedstawione w niniejszym sprawozdaniu odnoszą się wyłącznie do badanego obiektu i do warunków i konfiguracji urządzeń w dniu wykonywania pomiarów.

|    |   |         |         |         |         |       |      |                           |
|----|---|---------|---------|---------|---------|-------|------|---------------------------|
|    | od anteny radioliniowej az. 263°                                  |         |         |         |         |       |      |                           |
| 48 | GKP w odległości 75m od anteny radioliniowej az. 263°             | 0.3-2.0 | <0.003* | <0.003* | <0.003* | 0.003 | 0.05 | 53°7'34.3"<br>23°14'52.8" |
| 49 | GKP w odległości 5m od anteny radioliniowej az. 302°              | 0.3-2.0 | <0.003* | <0.003* | <0.003* | 0.003 | 0.05 | 53°7'35.0"<br>23°14'56.4" |
| 50 | GKP w odległości 25m od anteny radioliniowej az. 302°             | 0.3-2.0 | <0.003* | <0.003* | <0.003* | 0.003 | 0.05 | 53°7'35.0"<br>23°14'55.7" |
| 51 | GKP w odległości 45m od anteny radioliniowej az. 302°             | 0.3-2.0 | <0.003* | <0.003* | <0.003* | 0.003 | 0.05 | 53°7'35.4"<br>23°14'54.6" |
| 52 | GKP w odległości 65m od anteny radioliniowej az. 302°             | 0.3-2.0 | <0.003* | <0.003* | <0.003* | 0.003 | 0.05 | 53°7'35.8"<br>23°14'53.9" |
| 53 | GKP w odległości 85m od anteny radioliniowej az. 302°             | 0.3-2.0 | <0.003* | <0.003* | <0.003* | 0.003 | 0.05 | 53°7'36.1"<br>23°14'53.2" |
| 54 | PKP na az. 333° w odległości 45m od anteny radioliniowej az. 302° | 0.3-2.0 | <0.003* | <0.003* | <0.003* | 0.003 | 0.05 | 53°7'36.1"<br>23°14'55.7" |
| 55 | PKP na az. 41° w odległości 50m od anteny sektorowej az. 0°       | 0.3-2.0 | <0.003* | <0.003* | <0.003* | 0.003 | 0.05 | 53°7'36.1"<br>23°14'58.6" |
| 56 | PKP na az. 152° w odległości 44m od anteny radioliniowej az. 110° | 0.3-2.0 | <0.003* | <0.003* | <0.003* | 0.003 | 0.05 | 53°7'33.6"<br>23°14'57.8" |
| 57 | PKP na az. 232° w odległości 58m od anteny radioliniowej az. 247° | 0.3-2.0 | <0.003* | <0.003* | <0.003* | 0.003 | 0.05 | 53°7'33.6"<br>23°14'54.2" |
| -  | GKP w odległości 366m od anteny sektorowej az. 0°                 | 0.3-2.0 | <0.003* | <0.003* | <0.003* | 0.003 | 0.05 | 53°7'46.6"<br>23°14'56.8" |
| -  | GKP w odległości 503m od anteny sektorowej az. 100°               | 0.3-2.0 | <0.003* | <0.003* | <0.003* | 0.003 | 0.05 | 53°7'31.8"<br>23°15'23.4" |
| -  | GKP w odległości 251m od anteny sektorowej az. 210°               | 0.3-2.0 | <0.003* | <0.003* | <0.003* | 0.003 | 0.05 | 53°7'27.8"<br>23°14'49.9" |

GKP – Główny Kierunek Pomiarowy

PKP – Pomocniczy Kierunek Pomiarowy

<sup>1</sup> wyniki oznaczone \* są wynikami poniżej czułości zestawu pomiarowego i są wynikami spoza zakresu akredytacji. Do

Sprawozdanie z badań bez pisemnej zgody laboratorium nie może być powielane inaczej niż w całości.

Wynik przedstawione w niniejszym sprawozdaniu odnoszą się wyłącznie do badanego obiektu i do warunków i konfiguracji urządzeń w dniu wykonywania pomiarów.

obliczenia wyniku skorygowanego przyjęto wartość skorelowaną z rzeczywistym wynikiem pomiaru - dolną granicę akredytowanego zakresu pomiarowego metody

<sup>2</sup> współrzędne geograficzne pozyskane metodą pomiaru bezpośredniego

<sup>3</sup> do wyznaczenia wartości wskaźnikowej  $WM_E$  i  $WM_H$  przyjęto na podstawie uzgodnień z klientem oraz rozpoznania źródeł, jako wartości dopuszczalne pola elektrycznego i magnetycznego odpowiednio 28 V/m i 0,073 A/m.

<sup>4</sup> do wyznaczenia niepewności dla wyników poniżej czułości zestawu pomiarowego, przyjęto niepewność dla minimalnej wartości z zakresu pomiarowego.

<sup>5</sup> maksymalna wartość chwilowa

Niepewność oszacowano zgodnie z dokumentem P-03 „Procedura nadzoru nad wyposażeniem” w postaci niepewności rozszerzonej wynikającej z niepewności standardowej pomnożonej przez współczynnik rozszerzenia  $k=2$ .

Całkowita szacowana niepewność rozszerzona składowej E wynosi odpowiednio:

sonda S-20: 29.4% dla częstotliwości do 3 GHz, sonda S-19: 27.4% dla częstotliwości do 4 GHz

Umiejscowienie pionów (punktów) pomiarowych przedstawiono w załączniku nr 2 do niniejszego sprawozdania.

## 10. Omówienie wyników pomiarów

W związku z tym, że żadna z wartości zmierzonych, udokumentowanych w tabelach w pkt. 9, uzyskanych w skutek zastosowania pomiaru szerokopasmowego, powiększonego o rozszerzoną niepewność pomiaru  $U$  dla współczynnika rozszerzenia  $k = 2$  nie przekroczyła 70% najniższej dopuszczalnej wartości składowej elektrycznej lub magnetycznej pola dla objętych pomiarami zakresów częstotliwości, nie uwzględnia się poprawek pomiarowych.

W wyniku zastosowania sposobu sprawdzenia dotrzymania dopuszczalnych poziomów pól elektromagnetycznych w środowisku, zgodnie pkt 25 ppkt 1 Rozporządzenia Ministra Klimatu z dnia 17 lutego 2020 r. (Dz. U. 2022, poz. 2630), w związku z tym, że żadna z wartości wskaźnikowych, udokumentowanych w tabelach w pkt. 9 nie przekracza wartości 1, stwierdza się, że w miejscach, w których wykonano pomiary w otoczeniu instalacji radiokomunikacyjnej 24018 (96013N!) WBI\_SUPRASL\_ZASCIANKI, dopuszczalne poziomy pól elektromagnetycznych w środowisku należy uznać za dotrzymane.

## 11. Podstawa prawna

- 1) Ustawa z dnia 27 kwietnia 2001 r. Prawo ochrony środowiska (Dz.U. 2022 poz. 2556)
- 2) Rozporządzenie Ministra Zdrowia z dnia 17 grudnia 2019 r. w sprawie dopuszczalnych poziomów pól elektromagnetycznych w środowisku (Dz. U. 2019, poz. 2448)
- 3) Rozporządzenie Ministra Klimatu z dnia 17 lutego 2020 r. w sprawie sposobów sprawdzania dotrzymania dopuszczalnych poziomów pól elektromagnetycznych w środowisku (Dz. U. 2022, poz. 2630),
- 4) Akredytacja nr AB 419 wydana przez Polskie Centrum Akredytacji (wydanie 21, z dnia 11 kwietnia 2023 r.)

## 12. Spis załączników

Załącznik 1. Lokalizacja obiektu badań

Załącznik 2. Usytuowanie pionów (punktów) pomiarowych

Załącznik 3. Dokumentacja fotograficzna obiektu badań

## 13. Data wydania i autoryzowania sprawozdania

Obliczenia i sprawozdanie wykonał :

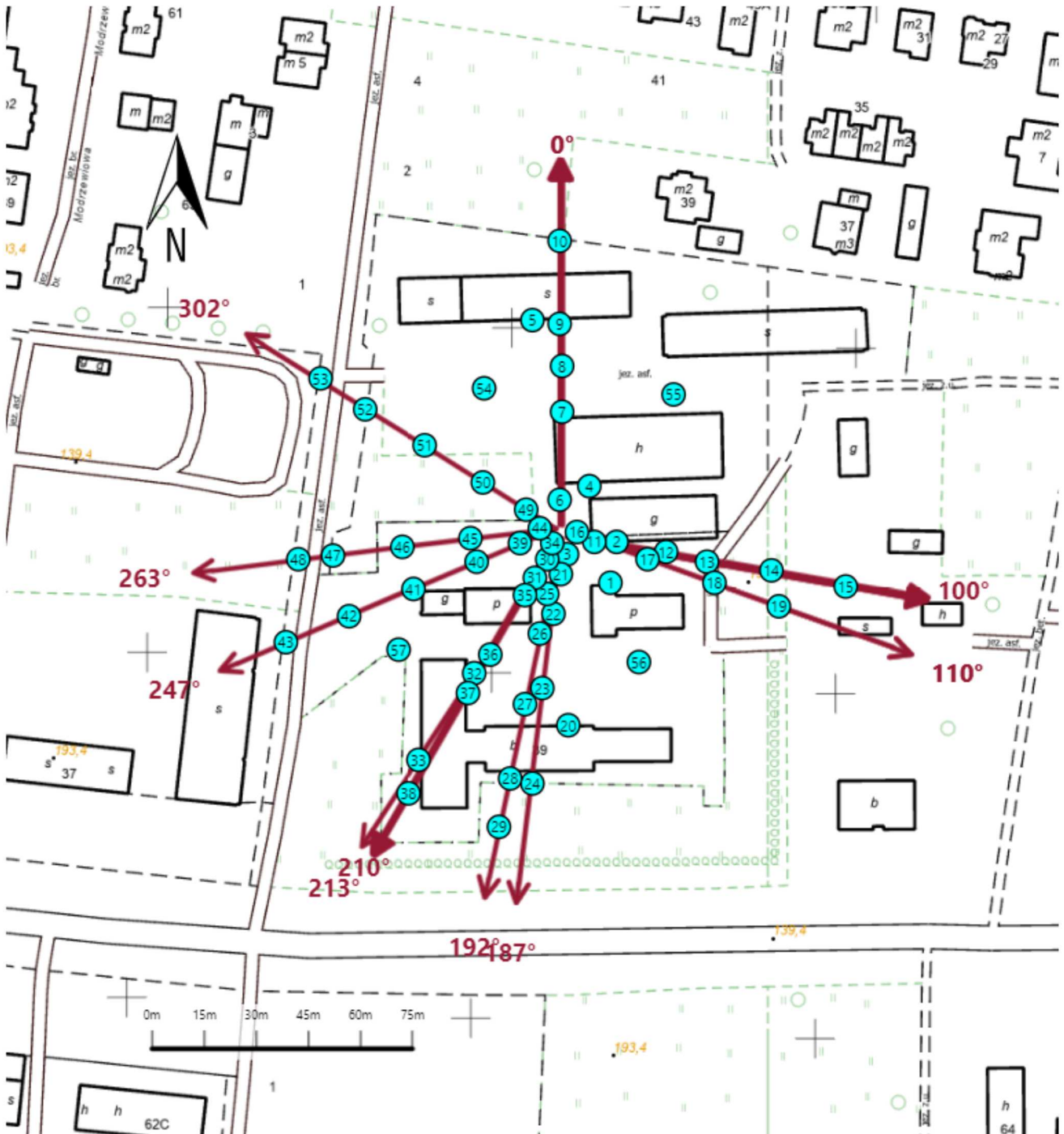
Sprawozdanie autoryzował:




**Koniec sprawozdania**

Sprawozdanie z badań bez pisemnej zgody laboratorium nie może być powielane inaczej niż w całości.  
Wynik przedstawione w niniejszym sprawozdaniu odnoszą się wyłącznie do badanego obiektu i do warunków i konfiguracji urządzeń w dniu wykonywania pomiarów.



|                |  |
|----------------|--|
| Załącznik nr 1 | Instalacja radiokomunikacyjna T-Mobile Polska S.A. 24018 (96013N!) WBI_SUPRASL_ZASCIANKI<br>Lokalizacja stacji |
|----------------|--|



|                       |   |
|-----------------------|---|
| <p>Załącznik nr 2</p> | <p style="text-align: center;">Instalacja radiokomunikacyjna T-Mobile Polska S.A.<br/>                 WBI_SUPRASL_ZASCIANKI (96013N!)<br/>                 Usytuowanie pionów pomiarowych w otoczeniu instalacji radiokomunikacyjnej</p>   |
| <p>Legenda:</p>       | <p style="text-align: center;">  Pion pomiarowy<br/>  Kierunek oddziaływania anten sektorowych<br/>  Kierunek oddziaływania anten radioliniowych                 </p> |



Załącznik nr 3

Instalacja radiokomunikacyjna T-Mobile Polska S.A. 24018 (96013N!) WBI\_SUPRASL\_ZASCIANKI

Dokumentacja fotograficzna